

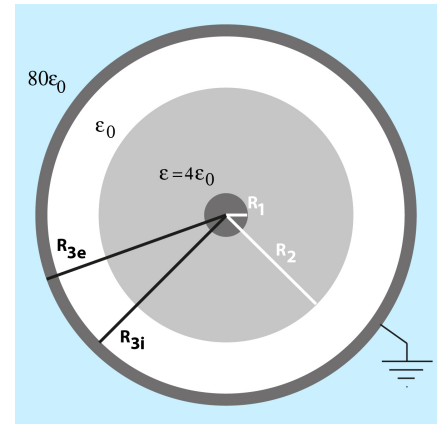
Versão: 1{2}

Duração do Teste: 1h 30m

 $\epsilon_0 = 8,854 \times 10^{-12} \text{ F/m}$ ,  $\mu_0 = 4\pi \cdot 10^{-7} \text{ N/A}^2$ 

Por determinação do Conselho Pedagógico, informamos que só serão cotadas as respostas que contribuam de forma significativa para os resultados ou demonstrações pedidos.

- (4,0) 1) Considere o sistema hipotético de **simetria cilíndrica** indicado na figura, imerso em água. No centro está um condutor cilíndrico muito comprido e de raio  $R_1 = 0,1\{0,2\} \text{ m}$ , rodeado por uma camada de espessura  $R_2 - R_1 = 0,5\{0,8\} \text{ m}$ , cilíndrica e de constante dielétrica  $\epsilon = 4\epsilon_0$ , por ar com constante dielétrica  $\epsilon_0$ , e por uma coroa cilíndrica oca condutora, de raios interior  $R_{3i} = 0,99\{1,95\} \text{ m}$  e  $R_{3e} = 1,0\{2,0\} \text{ m}$  (espessura de  $1\{5\} \text{ cm}$ ). Note que o condutor exterior está **ligado à Terra** ( $V_e = 0 \text{ V}$ ) e que o condutor 1 (interior) está **isolado**. Considere ainda que o condutor 1 tem densidade linear de carga elétrica  $\lambda_1 = +50\{100\} \text{ nC/m}$ .



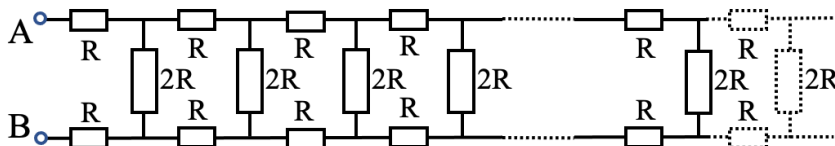
- [1,0] a) Calcule o campo elétrico  $\vec{E}$  em todos os pontos do espaço, em função da distância  $R$  ao eixo dos cilindros (*sug.: use o Teorema de Gauss*);  
[R: Por termos meios dielétricos diferentes, comecemos por calcular o campo de deslocamento elétrico  $\vec{D}$ . Considerando a simetria cilíndrica e o sistema ser muito comprido, podemos começar por notar que  $\vec{D}$  só pode depender da distância  $R$  ao eixo longitudinal dos cilindros e tem de ser perpendicular a este eixo. Considerando uma superfície de Pedro cilíndrica coaxial com os cilindros e de raio genérico  $R$ , fechada em duas tampas e de comprimento  $l$ , podemos calcular o fluxo do campo de deslocamento elétrico para fora desta superfície como sendo  $\Phi = \iint_{S_p} \vec{D} \cdot \vec{n} dS$ . A superfície foi escolhida de forma a que  $D(R) = |\vec{D}(R)|$  seja constante na superfície lateral e  $\vec{D} \cdot \vec{n}$  seja zero nas tampas. Temos então  $\Phi = 0 + D(R) \cdot 2\pi Rl + 0 = Q_{\text{int}}$ . Ora, para  $R_1 < R < R_{3i}$  temos carga total interior dada por  $Q_{\text{int}} = \lambda_1 l \Leftrightarrow D(R) = \frac{\lambda_1}{2\pi R}$ . Podemos agora calcular o campo elétrico em todo o espaço. Dentro dos condutores em equilíbrio eletrostático,  $R < R_1$  ou  $R_{3i} < R < R_{3e}$ , temos  $\vec{E} = 0$ . Para  $R > R_{3e}$ , temos  $\vec{E} = 0$  pois o condutor exterior está ligado à terra e não há mais cargas até  $R \rightarrow \infty$ . Finalmente, para  $R_1 < R < R_2$ :  $\vec{E} = \frac{\vec{D}}{\epsilon} = \frac{\vec{D}}{4\epsilon_0} = \frac{\lambda_1}{8\pi\epsilon_0 R} \vec{e}_R \cong \frac{225}{R} \left\{ \frac{450}{R} \right\} \vec{e}_R (\text{V/m})$ , e para  $R_2 < R < R_{3i}$ :  $\vec{E} = \frac{\vec{D}}{\epsilon} = \frac{\vec{D}}{\epsilon_0} = \frac{\lambda_1}{2\pi\epsilon_0 R} \vec{e}_R \cong \frac{900}{R} \left\{ \frac{1800}{R} \right\} \vec{e}_R (\text{V/m})$ . ]

- [0,5] b) Calcule o potencial elétrico do condutor 1 (interior);

$$[R: \phi_1 = \phi_1 - 0 = \phi_1 - \phi_e = \int_{R_1}^{R_{3i}} \vec{E} \cdot d\vec{R} = \int_{R_1}^{R_2} \vec{E} \cdot d\vec{R} + \int_{R_2}^{R_{3i}} \vec{E} \cdot d\vec{R} \Leftrightarrow \\ \phi_1 = \int_{R_1}^{R_2} \frac{\lambda_1}{8\pi\epsilon_0 R} \vec{e}_R \cdot d\vec{R} + \int_{R_2}^{R_{3i}} \frac{\lambda_1}{2\pi\epsilon_0 R} \vec{e}_R \cdot d\vec{R} = \frac{\lambda_1}{8\pi\epsilon_0} \left( \log \frac{R_2}{R_1} + 4 \log \frac{R_{3i}}{R_2} \right) \cong 854\{1926\} \text{ V} . ]$$

- [0,5] **c)** Calcule as densidades superficiais de cargas elétricas nas superfícies de separação (livres e de polarização);  
 [R: *Começamos pelas cargas de polarização. Como os meios são homogêneos, não há densidades de cargas de polarização em volume. Só há em superfície, dadas por  $\sigma' = \vec{P} \cdot \vec{n}_{\text{ext}}$ , com  $\vec{P} = \epsilon_0 \chi_E \vec{E} = (\epsilon - \epsilon_0) \vec{E}$ . Assim só temos densidades de cargas de polarização em  $R = R_1(R_1^+)$  e  $R = R_2(R_2^-)$ , dadas respetivamente por  $\sigma'_1 = \frac{(\epsilon - \epsilon_0)\lambda_1}{8\pi\epsilon_0 R_1} \vec{e}_r \cdot \vec{n}_{\text{ext}}$  e  $\sigma'_2 = \frac{(\epsilon - \epsilon_0)\lambda_1}{8\pi\epsilon_0 R_2} \vec{e}_r \cdot \vec{n}_{\text{ext}}$ . Nas outras superfícies  $\epsilon = \epsilon_0$  ou  $\vec{E} = 0$ . Note-se que  $\vec{n}_{\text{ext}} = -\vec{e}_R$  em  $R_1^+$  e  $\vec{n}_{\text{ext}} = +\vec{e}_R$  em  $R_2^-$  pelo que  $\sigma'_1 \cong -57\{-57\} \text{ nC/m}^2$  e  $\sigma'_2 \cong +9,95\{11,94\} \text{ nC/m}^2$ . Para as cargas livres, usamos a propriedade  $(\vec{D}_2 - \vec{D}_1) \cdot \vec{n} = \sigma$  na transição entre superfícies, sendo  $\sigma$  a densidade de cargas livres nesse ponto da superfície (igual em toda a superfície devido à simetria cilíndrica). Temos então em  $R = R_1$ :  $\sigma_1 = D(R \rightarrow R_1^+) - 0 = \frac{\lambda_1}{2\pi R_1} = \frac{50\{100\}}{0,2\{0,4\}\pi} = 79,6\{79,6\} \text{ nC/m}^2$  e em  $R = R_{3i}$ :  $\sigma_{3i} = 0 - D(R \rightarrow R_{3i}^-) = -\frac{\lambda_1}{2\pi R_{3i}} = -\frac{50\{100\}}{0,99\{1,95\}\pi} = -8,04\{-8,16\} \text{ nC/m}^2$ . Nas outras superfícies ( $R = R_2, R = R_{3e}$ ), note-se que temos  $(\vec{D}_2 - \vec{D}_1) \cdot \vec{n} = 0$  ou  $\vec{D}_2 = \vec{D}_1 = 0$ , pelo que nessas transições temos  $\sigma = 0$ . ]*
- [0,5] **d)** Calcule a energia eletrostática do sistema por unidade de comprimento;  
 [R: *A energia eletrostática por unidade de comprimento é  $\frac{W}{l} = \frac{1}{2} \frac{Q}{l} V = \frac{1}{2} \lambda_1 \phi_1 \cong 21,4\{96,3\} \mu\text{J/m}$ .*]
- [0,5] **e)** Calcule a capacidade do sistema por unidade de comprimento;  
 [R: *A capacidade por unidade de comprimento é  $\frac{C}{l} = \frac{Q}{lV} = \frac{\lambda_1}{\phi_1} \cong 58,5\{51,9\} \text{ pF/m}$ .*]
- [1,0] **f)** Suponha que se abriu um orifício muito pequeno no condutor exterior, sem prejuízo da simetria cilíndrica e que a água, de constante dielétrica  $\epsilon = 80\epsilon_0$ , substituiu a camada que tinha ar. Determine a variação de energia eletrostática por unidade de comprimento (do “Universo”) e a nova capacidade do sistema.  
 [R: *Como o condutor 1 (interior) está isolado, esta substituição deu-se a carga constante. Podemos começar por calcular a nova capacidade por unidade de comprimento,  $C'/l$  e depois calcular a variação de energia eletrostática por unidade de comprimento como sendo  $\frac{\Delta W}{l} = \frac{W'}{l} - \frac{W}{l} = \frac{\lambda_1^2}{2(C'/l)} - \frac{W}{l}$ . A nova capacidade por unidade de comprimento é  $\frac{C'}{l} = \frac{\lambda_1}{\phi'_1}$ , com  $\phi'_1 = \int_{R_1}^{R_2} \vec{E} \cdot d\vec{R} + \int_{R_2}^{R_{3i}} \vec{E} \cdot d\vec{R} = \frac{\lambda_1}{2\pi\epsilon_0} \left( \frac{1}{4} \log \frac{R_2}{R_1} + \frac{1}{80} \log \frac{R_{3i}}{R_2} \right) \cong 409\{739\} \text{ V}$ , pelo que  $\frac{C'}{l} \cong 0,122\{0,135\} \text{ nF/m}$  e  $\frac{\Delta W}{l} \cong (10,2\{37,0\} - 21,4\{96,3\}) \mu\text{J/m} \cong -11,2\{-59,3\} \mu\text{J/m}$ . ]*

- [2,0] **2)** Considere o conjunto “infinito” de resistências ligadas em “escada” como na figura. Calcule a resistência equivalente entre os pontos A e B, para o valor  $R = 2\{4\} \Omega$ . (Sug.: note a invariância do sistema se retirar o bloco de 3 resistências da esquerda)



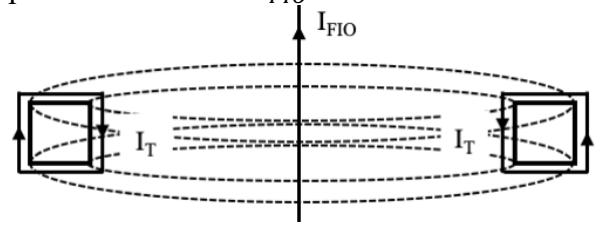
[R: Se juntarmos um bloco de 3 resistências aos pontos A e B, a resistência equivalente entre os novos extremos A' e B', tem de ser igual à resistência equivalente entre A e B sem esse bloco,  $R_{AB}$ . Isto é, temos  $R_{A'B'} = R + 2R || R_{AB} + R = R_{AB}$ , representando  $2R || R_{AB}$  a resistência equivalente da associação em paralelo entre o ramo  $2R$  e a resistência equivalente  $R_{AB}$ . Temos então a equação

$$R_{AB} = 2R + \left( \frac{1}{2R} + \frac{1}{R_{AB}} \right)^{-1} = 2R + \frac{2RR_{AB}}{2R + R_{AB}} \Leftrightarrow R_{AB}(2R + R_{AB}) = 2R(2R + R_{AB}) + 2RR_{AB} \text{ ou}$$

$$R_{AB}^2 + 2RR_{AB} - 4R^2 - 2RR_{AB} - 2RR_{AB} = 0 \Leftrightarrow R_{AB}^2 - 2RR_{AB} - 4R^2 = 0 \quad \text{ou usando a fórmula resolvente reduzida } [x^2 + 2kx + c = 0 \Leftrightarrow x = -k \pm \sqrt{k^2 - c}] \text{ temos}$$

$$R_{AB} = R \pm \sqrt{R^2 + 4R^2} = (1 + \sqrt{5})R \cong 6,47\{12,94\} \Omega \quad .]$$

- (4,0) **3)** Um toroide com **secção quadrada** de lado  $a = 0,1\{0,2\}$  m e raio médio  $R = 10\{5\}$  m, tem 1000{5000} espiras que transportam uma corrente  $I_T = 10\{4\}$  A (ver figura do corte transversal). No centro do toroide temos um fio condutor “infinito”, que transporta uma corrente  $I_{FIO} = 10000\{20000\}$  A. **Note os sentidos das correntes.**



- [1,0] **a)** Calcule o campo magnético em todo o espaço (devido aos dois condutores);

[R: Usemos a Lei de Ampère para o campo magnético que, dada a simetria do sistema, só depende da distância  $r$  ao fio, usando uma linha circular centrada no fio:

$\oint \vec{B} \cdot d\vec{l} = B(r) \cdot 2\pi r = \mu_0 I_{\text{int}}$ , sendo  $I_{\text{int}}$  a corrente interior que atravessa o círculo plano de raio  $r$ .

Temos então, para  $z < -\frac{a}{2}$ ,  $z > +\frac{a}{2}$  ou  $r < R - a$ ,  $I_{\text{int}} = I_{FIO} = 10\,000\{20\,000\}$  A e  $\vec{B}(r) =$

$$\frac{\mu_0 I_{FIO}}{2\pi r} \vec{e}_\varphi = \frac{2\{4\}}{r} \vec{e}_\varphi (\text{mT}) ;$$

para  $-\frac{a}{2} < z < +\frac{a}{2}$  e  $R - a < r < R + a$ ,  $I_{\text{int}} = I_{FIO} - N_T I_T = 0$ , pelo que  $\vec{B}(r) = 0$ .

Finalmente, para

$-\frac{a}{2} < z < +\frac{a}{2}$  e  $r > R + a$ ,  $I_{\text{int}} = I_{FIO} - N_T I_T + N_T I_T = I_{FIO}$  e  $\vec{B}(r)$  volta a ser

$$\vec{B}(r) = \frac{\mu_0 I_{FIO}}{2\pi r} \vec{e}_\varphi = \frac{2\{4\}}{r} \vec{e}_\varphi (\text{mT}). ]$$

- [1,0] **b)** Calcule o coeficiente  $L_T$  de auto-indução do toroide;

[R: O coeficiente de auto-indução do toroide é dado por  $L_T = \frac{\Phi_T}{I_T}$  sendo  $\Phi_T = N_T \iint \vec{B}_T \cdot \vec{n} dS$

através da secção do toroide. Como  $R \gg a$ , podemos assumir que o campo do toroide, dado na alínea anterior para  $9,95\{4,9\} \text{ m} < r < 10,05\{5,1\} \text{ m}$  considerando a corrente no fio como nula, é aproximadamente constante e igual a  $B_T(r) = \frac{2\{4\}}{10\{5\}} (\text{mT})$  (note-se que é  $\vec{B}_T(r) = -\frac{2\{4\}}{r} \vec{e}_\varphi (\text{mT})$ , pois o versor  $\vec{e}_\varphi$  foi definido na alínea anterior pelo campo do fio).

O fluxo é então simplesmente

$$\Phi_T = N_T \iint \vec{B} \cdot \vec{n} dS = N_T B_T(R) \cdot a^2 = 1000\{5000\} \cdot \frac{2\{4\} \times 10^{-3}}{10\{5\}} \cdot 0,1^2\{0,2^2\} \text{ e}$$

$$L_T = \frac{\Phi_T}{I_T} = \frac{2\{160\} \text{ mH}}{10\{4\}} = 0,2\{40\} \text{ mH}. ]$$

- [1,0] **c)** Calcule o coeficiente  $M$  de indução mútua entre o fio e o toroide;

[R: Como a expressão do campo do fio é a mesma da do campo do toroide, o fluxo vai ser o mesmo,

e o coeficiente de indução Mútua é  $M = \frac{\Phi_T}{I_{FIO}} = L_T \frac{I_T}{I_{FIO}} = 0,2\{40\} \text{ mH} \cdot \frac{10\{4\}}{10000\{20000\}} = 0,2\{8\} \mu\text{H}. ]$

- [1,0] **d)** Suponha que substitui o fio por um solenóide, muito comprido e de raio  $R' = 1$  m, com 1000{5000} espiras que transportam uma corrente  $I = 10\{4\}$  A, com o eixo do solenóide no local do fio. Calcule o coeficiente de indução mútua entre o solenóide e o toroide nesta nova configuração.

[R:  $M=0$ , pois nesta nova configuração, o campo criado pelo solenóide que substituiu o fio é nulo fora do solenóide, pelo que este campo na zona do toróide vai ser sempre nulo e o coeficiente de indução mútua também vai ser zero. ]